

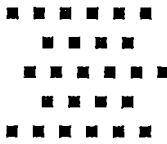
丙 第 338 号証

# 強震動

観測記録とその特性

翠川三郎

[著]



朝倉書店

## 1

## 強震動の観察

1. 強震動の観察	1
1.1 摆れの強さを表す尺度	1
1.2 大地震での揺れと被害	4
1.3 震源近傍での激しい地震動の痕跡	10
2. 強震動の観測	18
2.1 強震観測の歴史	18
2.2 強震計の種類	22
2.3 強震動データ	27
3. 震源域およびその周辺で観測された強震記録	30
3.1 震源域およびその周辺での観測事例	30
3.2 大振幅の強震記録の最大加速度・速度	53
4. 強震記録にみられる地震動の特性	60
4.1 地震動特性の支配要因	60
4.2 震源特性	60
4.3 伝播特性	63
4.4 地盤特性	66
5. 強震動の予測	76
5.1 強震動の予測手法	76
5.2 地震動の距離減衰式	78
5.3 地震ハザードマップ	87
5.4 建築物の動的解析で用いられる設計用入力地震動	96
参考文献	109

地震時の揆れの強さの程度を表す尺度として、震度階が古くから用いられてきた。これは、人体感覺や周囲の物体の揆れ、構造物の被害などから地震の揆れの大きさを順序づけしたもので、19世紀に提案され始めた（池上、1987）。初期に提案され広く利用されたものとして、1883年に提案されたロッシュフォーレル震度階があげられる。現在は、これを改良した12階段（I～XII）からなる改正メルカリ震度階が国際的に広く用いられている。わが国では、4階段からなる脚谷の震度階がロッシュフォーレル震度階とほぼ同時期に提案され用いられた。これが1898年に中央気象台（気象庁の前身）により7階級（0～VI）に細分化され、1948年福井地震を契機に震度VIIが追加され8階級となった。このように、わが国で用いられている気象庁震度階は改正メルカリ震度階とは異なる生い立ちを持つが、両震度階のいずれも、低震度では人体感覺が、中震度では周囲の物品の挙動が、高震度では構造物の被害が、それぞれ主な判定基準となっている。このことは、後述する気象庁の震度階級解説表からも読み取れる。

日本で組織的な震度観測は、1884年内務省地理局が全国の測候所、府県庁、都区役所など約600カ所に対して地震が発生した際に震度を報告するよう依頼したことから始まる（気象庁、1996）。1904年には気象官署や民間への委託をあわせ1,437の観測所から震度のデータが収集された（気象庁、2009a）。当時は、地震による観測がまだ十分でなく、地殻現象の把握は、震動の強弱や震れの方向等についての体感や被害調査等により行われていた。昭和30年（1955年）代もほぼ同数の観測点が維持されていたが、地震計による観測を中心とした業務の標準化が行われてきたことから地震観測としての震度観測はその役目を終え、1958年から頃次観測所の整理が行なわれた。1988年には、全国158カ所の気象官署において震度観測が行われるのみとなつた（気象庁、2009a）。

このように、1県当たり30点程度だった震度観測がその1/10の粗いものとなつたこともあり、大地震が発生した際に各地の震度が通信アンケート調査によって調査されるようになつた。例えば、1943年から1968年にかけて18の被害地震で調査がなされた（佐藤、1973）。その後、太田・他（1979）はアンケート調査による震度の精度向上のために調査法を改良し、この方法により、1995年兵庫県南部地震も含め多数の被害地震でアンケートによる震度が調査されている。近年では、郵送ではなく、インターネットを利用して国際的な震度調査も行われている（Wald et al., 2012）。

1980年代後半より、気象庁は、観測員の主導による精度不足や震度発表の迅速化などの問

## 5.2 地震動の距離減衰式

### a) 距離減衰式の歴史

ある一つの地震の際に各地点で観測された

最大加速度と距離の関係をプロットすると、図 5.2 のように、搖れの強さは震源からの距離とともに減衰する。距離減衰式は、観測データから図の曲線のような平均的な関係を求めて、地盤規模や震源からの距離などの数少ない簡単な情報だけで地震動の強さを予測する式である。

なお、距離減衰式は、距離による地震動の減衰だけではなく地震規模などの影響も含めて地震動強さのレベルを決めるものであるので、距離減衰式では意味が狭くとらえられる點がある。

そこで、最近では地震動予測式と呼ばれる場合も相えているが、ここでは、従来通り距離減衰式と呼ぶことにする。

距離減衰式は観測記録に基づくが、初期の距離減衰式の導出の際には、利用できる強震記録が限られていることから、工夫がなされてい

る。米国では、1930 年代に強震観測が開始され、1940 年代から地震動の最大加速度と地盤

規模や震央距離の関係が検討されはじめ (Gutenberg and Richter, 1942), 1956 年に最大加速度の距離減衰式が提案された (Gutenberg and Richter, 1956)。この距離減衰式は 1933 年

から 1954 年までにカリフォルニアで得られた約 200 の強震記録に基づいている。震源近傍の記録はほとんどないが、震央直上で推定された震度の値から震央距離が 0 での最大加速度の値を推定して距離減衰式を構築している。

日本では、1950 年代から金井による強震動の研究がなされ、M および震央距離、地盤の卓越周期をパラメータとした地震動の距離減衰式が提案され、この式が 1933 年から 1957 年までにカリフォルニアで観測された強震記録の最大加速度をおおむね説明することが確認されている (Kanai, 1961)。この式は、日本で強震記録がほとんどない時期に、変位の距離減衰式を表す坪井式に、日本版の基礎での地震動の観測結果と地盤の振動特性にに関する半実験式を組み合わせて巧妙に構築されたもので、その導出過程は田中 (1985) により解説されている。

その後、1966 年の松代群発地震の臨時強震観測により震原付近で得られた強震記録を用いて、震源近傍まで適用可能のように式が改訂された (Kanai et al., 1966)。これが金井の距離減衰式と呼ばれ、その後、日本では長い間利用された。

その後、米国では、1971 年サンフランシスコ・アルバーレー地震で多くの強震記録が得られると、多くの距離減衰式が提案された。日本でも、1968 年十勝沖地震などで多様の記録が得られるようになり、例えば、1963 年から 1970 年に得られた 330 記録から距離減衰式が Katayama (1974) により提案されている。さらに、1995 年兵庫県南部地震で震原付近での記録が得られたり、K-NEI などの強震観測網が充実したりし

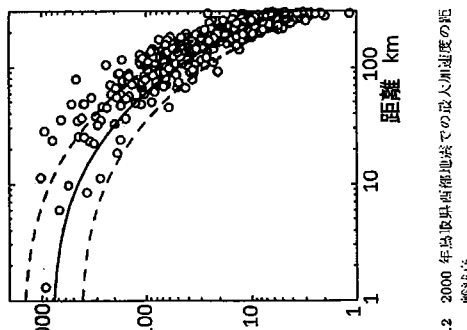


図 5.2 2000 年鳥取県西都原地震での最大加速度の距離減衰式

の記録はほとんどないが、震央直上で推定された震度の値から震央距離が 0 での最大加速度の値を推定して距離減衰式を構築している。

日本では、1950 年代から金井による強震動の研究がなされ、M および震央距離、地盤の卓越周期をパラメータとした地震動の距離減衰式が提案され、この式が 1933 年から 1957 年までにカリフォルニアで観測された強震記録の最大加速度をおおむね説明することができる。

その後、1966 年の松代群発地震の臨時強震観測により震原付近で得られた強震記録を用いて、震源近傍まで適用可能のように式が改訂された (Kanai et al., 1966)。これが金井の距離減衰式と呼ばれ、その後、日本では長い間利用された。

その後、米国では、1971 年サンフランシスコ・アルバーレー地震で多くの強震記録が得られると、多くの距離減衰式が提案された。日本でも、1968 年十勝沖地震などで多様の記録が得られるようになり、例えば、1963 年から 1970 年に得られた 330 記録から距離減衰式が Katayama (1974) により提案されている。さらに、1995 年兵

て、利用できる記録が増加するたびに、多くの距離減衰式が提案されるようになつた。現在の米国の研究については、'Trifunac and Brady (1976), Campbell (2003)などにより、わが国のものについては、豊月 (1983), 翠川 (2009)などにより、世界各地震でのものについては、Douglas (2016)などにより、それぞれレビューがなされている。

### 文 献

- Campbell, K.: Strong-motion attenuation relations, International Handbook of Earthquake and Engineering Seismology Part B, Academic Press, pp.1003-1012, 2003.
- Douglas, J.: Ground motion prediction equations 1964-2016, <http://www.gmpe.org.uk/gmpe-report2014.pdf> (last access 2016/12/13).
- Gutenberg, B. and C.F. Richter: Earthquake Magnitude, Intensity, Energy, and Acceleration, Bull. Seism. Soc. Am., Vol.32, pp.163-191, 1942.
- Gutenberg, B. and C.F. Richter: Earthquake Magnitude, Intensity, Energy, and Acceleration (Second Paper), Bull. Seism. Soc. Am., Vol.46, pp.105-145, 1956.
- Kanai, K.: An empirical formula for the spectrum of strong earthquake motion, Bull. Earthq. Res. Inst., Univ. of Tokyo, Vol.39, pp.85-95, 1961.
- Kanai, K., K. Hirano, S. Yoshikawa and T. Asada: Observation of strong earthquake motions in Matsusluu area, Part I, Bull. Earthq. Res. Inst., Univ. of Tokyo, Vol.44, pp.1269-1296, 1966.
- Katayama, T.: Statistical Analysis of Peak Accelerations on Recorded Earthquake Ground Motions, J. Seism. Res., Vol.61, pp.S471-477, 2009.
- 豊月和男: 地震動強さの距離減衰式、地盤と地盤運動シミュレーションの歩みー、日本地震学会, pp.62-81, 1983.
- 豊月和男: 地震動強さと幾大地震予測式、地震と地盤運動千葉シンポジウム 10 年の歩みー、日本地震学会, pp.62-81, 1983.
- 三郎: 金井式に関する講話, ORI 研究報告 85-02, 大阪總合研究所, 37pp., 1985.
- Trifunac, M. and A. Brady: Correlations of peak acceleration, velocity and displacement with earthquake magnitude, distance and site conditions, Earthquake Engineering and Structural Dynamics, Vol.4, pp.455-471, 1976.

### b) 距離減衰式を構成する要素

地震動の振幅 ( $A$ ) は震源からの距離 ( $X$ ) とともに減衰するが、距離が非常に近くなると、振幅は飽和する傾向がみられる。また、地震条件によつても地震動の強さは異なる。さらに、地震規模 ( $M$ ) が同じでも地震のタイプ等によって地震動の強さは変わる。距離減衰式では、いくつかのパラメータを説明変数とした関数を仮定して、観測値を回帰分析して求められる場合が多い。例えば、司・翠川 (1999) の距離減衰式では以下のような関数型が用いられてゐる。

$$\log A = aM - b \log(X + d(M)) + c_1 + c_2 + fD - kX \quad (5.1)$$

右辺の第 1 項の  $a$  は地震動強さが地震規模  $M$  に依存する割合を示す係数で、地震動強さとして最大加速度を用いた場合には 0.5 の値をとり、最大速度の場合には 0.6 程度とやや大きくなる。第 2 項の  $b$  は断層面最近距離  $X$  [km] による減衰の割合を示す係数で、1 の値がよく用いられ、ごく浅い地震の場合には観測結果をよく説明している。図 5.2 からわかるように、距離が近いところでは地震動の強さは距離によらず一定の値に収束する傾向があることから、 $X$  に  $d(M)$  を加えることで、 $X$  が 0 になつても地震動強さ  $A$  は飽和するようになつている。図 5.3 に  $M = 6 \sim 8$  での最大加速度の距離減衰式を示す。

$d(M)$  を  $M$  の関数としているのは、地震動の強さが震源と震源付近では地震動の強さは地震規模によつてあまり変化

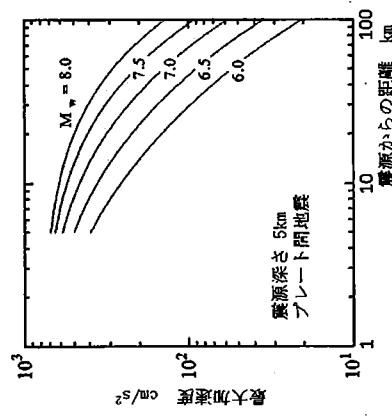
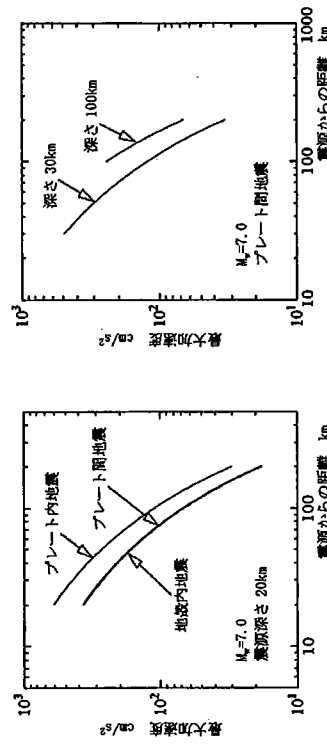
図 5.3 司・翠川(1999)の距離減衰式の  $M$  依存性

図 5.4 地震タイプによる影響

しないという観測事実からである。既往の距離減衰式では、標準的な地盤で 500～1,000 cm/s<sup>2</sup> 程度の最大加速度幅で飽和するものが多い。ただし、後述するように距離減衰式からの値と個々の観測値との差は小さくないので、このことが震源近傍での最大加速度が 1,000 cm/s<sup>2</sup> を上回らないことを意味するものではない。

第 3 項の  $c_1$  は地盤条件による変数で、通常の地盤に対して岩盤での最大加速度は 7 割程度となる結果となっている。最大速度に対する深さ 30 m までの地盤の S 波速度  $V_{S30}$  [m/s] を係数とした関数が用いられている。第 4 項の  $\epsilon_1$  は地盤のタイプによる变数で、図 5.4 に示すように、スラブ内地盤ではプレート間地盤や地盤内地盤に比べて最大加速度が 2 倍程度大きくなる結果となっている。第 5 項の  $D$  [km] は震源深さを示す係数で、図 5.5 に示すように、震源深さが 50 km 深くなると最大加速度が 3 割程度大きくなる結果となっている。最後の項は伝播経路での粘性減衰等を表す項で、距離が遠い場合に影響を及ぼす。結局、この式では、地盤の規模・タイプ・深さや、観測点の地盤条件、震源から観測点までの距離、の 5 つのパラメータ(説明変数)で地震動の強さが予測される。表 5.1 にこれら

表 5.1 司・翠川(1999)の距離減衰式の係数

	$a$	$b$	$d(\text{km})$	$c_1$	$\epsilon_1$	$f$	$k$
最大加速度 [cm/s <sup>2</sup> ]	0.5	1	0.0055 10 <sup>0.54</sup>	0 (地盤) -0.146 (岩盤)	0.61 (地盤内) 0.62 (プレート内) 0.83 (プレート外)	0.043	0.03
最大速度 [cm/s]	0.58	1	0.0028 10 <sup>0.54</sup>	1.83 - 0.66 log $V_{S30}$	-1.31 (プレート内) -1.17 (プレート外)	0.038	0.02

の係数の値を示す。この式は、地震動強さとして最大加速度および最大速度を対象としているが、応答スペクトルを始めとしてエネルギー・スペクトラルや震度などの地震動強さを対象としたものも多数提案されている。

## 文 献

- 1) 司 宏俊・翠川三郎・断層ダイアグラム及び地盤条件を考慮した最大加速度・最大速度の距離減衰式. 日本地震学会講演会論文集, 第 523 号, pp.63-70, 1999.

## c) 距離減衰式のパラッキ

距離減衰式は個々のデータから得られる平均的な関係であり、図 5.2 に示したように、実際の個々の観測結果は距離減衰式からバラツキを持つて分布している。確率論的地震動評価において低確率での地震動強さは、このバラツキに大きく支配されるため、近年の研究では、距離減衰式から得られる平均的な地震動強さのみならず、そのバラツキについても重要視されている。

図 5.6 は司・翠川(1999)の距離減衰式からの最大加速度値に対する観測値の比をとり、その対数の値の頻度分布をしたものである。距離減衰式に対する観測値のバラツキは対数正規分布となっている。この場合の標準偏差は 0.3 であり、既往の他の距離減衰式の標準偏差も同程度の値を示す。

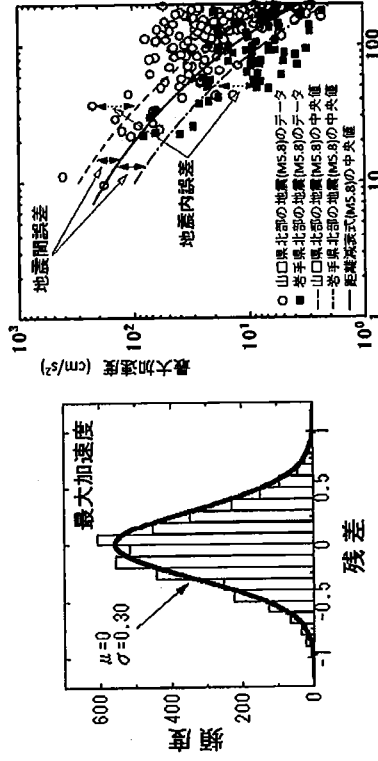


図 5.6 距離減衰式からの観測値の偏差の分布

図 5.7 地震内記述と地震出発点の説明図

- 卓越周期 67, 71  
断層原振幅伝播効果 63, 82, 83  
断層面長距離 64, 79  
断層モデル 34, 40, 61, 101  
半体の伝倒 10, 11  
長期地震動 72, 74, 102, 103, 105  
既跡現象 14, 16  
デイクライビティ効果 63  
デジタル充填震計 23, 26  
伝播特性 60, 63, 82  
東北地方太平洋沖地震 (1984 年) 12  
十勝沖地震 (1968 年) 19, 35  
十勝沖地震 (2003 年) 102  
反町県西部地震 (1984 年) 12  
南海トラフ巨大地震 101, 103  
新潟県中越地震 (2004 年) 12, 47  
新潟地震 (1964 年) 19  
入力地震動 96-99, 103

## 著者略歴

翠川三郎 (みどりかわ・さぶろう)

1953 年 東京都に生まれる  
1980 年 東京工業大学院総合理工学研究科博士課程修了  
現在 東京工業大学環境・社会理工学院 教養学系・教授  
工学博士

## は 行

- ハイブリッド手法 77, 91, 100-102  
バーグフィールド地震 (1966 年) 34  
バニオイマダム 37, 42  
八戸港湾 35, 37, 97, 98  
半経験的手法 76, 77, 101, 102

- 兵庫県南部地震 (1995 年) 5, 12, 19, 43, 63, 99  
表層地盤 66, 69  
表面波 72-74  
福井地震 (1948 年) 4, 19  
ら 行
- 理論的手法 76, 77, 86, 102
- ロングヒーチ地震 (1933 年) 18, 30

## な 行

- 長野県東部地震 (2011 年) 14, 50, 54, 99  
十勝沖地震 (1968 年) 19, 35  
十勝沖地震 (2003 年) 102
- 長野県西部地震 (1984 年) 12  
南アルプス 101, 103
- 新潟県中越地震 (2004 年) 12, 47  
新潟地震 (1964 年) 19  
入力地震動 96-99, 103

強 震 動  
—観測記録とその特性—

定価は表紙に表示

2018 年 2 月 20 日 初版第 1 刷  
2018 年 6 月 25 日 第 2 刷

著者 翠川三郎  
発行者 朝倉誠造  
出版社 株式会社朝倉書店  
東京都新宿区新小川町 6-29  
郵便番号 162-8707  
電話 03 (3260) 0141  
FAX 03 (3260) 0180  
<http://www.asakura.co.jp>

(捺印省略)

©2018 (無断複写・転載を禁ずる)  
ISBN 978-4-254-26648-1 C 3052 Printed in Japan

**[COPY]** <(社)出版者著作権管理機構 着任出版物>  
本書の無断複写は著作権法上での例外を除き禁じられています。複写される場合は、  
本のつど事前に、(社)出版者著作権管理機構 (電話 03-3513-9569, FAX 03-3513-  
6579, e-mail: info@copy.or.jp) の許諾を得てください。